

石川島播磨重工(株) 正員○河原謙二郎
 日産建設 福田 隆章
 山口大学 正員 會田 忠義

1. まえがき 分布質量・分布剛性を持つはりに等しく分布した連結ダンパーのみを有する動吸振ばりについて、これまでその制振理論及び制振効果が明らかにされてきたが¹⁾、本研究では対象構造物としてアーチ構造物を想定し、等しく分布した連結ダンパーのみを有する動吸振アーチを採用した。²⁾ また、実構造物に適用するための1つの試みとして、有限個の連結ダンパーを有する場合についても考え²⁾、その制振理論及び制振効果を明らかにする。

2. 運動方程式 Fig.1に示される対象アーチ(Main Arch, MA)と動吸振アーチ(Dynamic Absorbing Arch, MAA)の運動方程式は式(1)で表される。

式中、 m_1, m_2 : 対象アーチ及び動吸振アーチの単位長さ当たり質量、 I_1, I_2 : 対象アーチ及び動吸振アーチの断面2次モーメント、 A_1, A_2 : 対象アーチ及び動吸振アーチの断面積、 c_r, c_θ 半径方向及び接線方向の連結ダンパーの減衰係数 δ : Diracの δ 関数である。

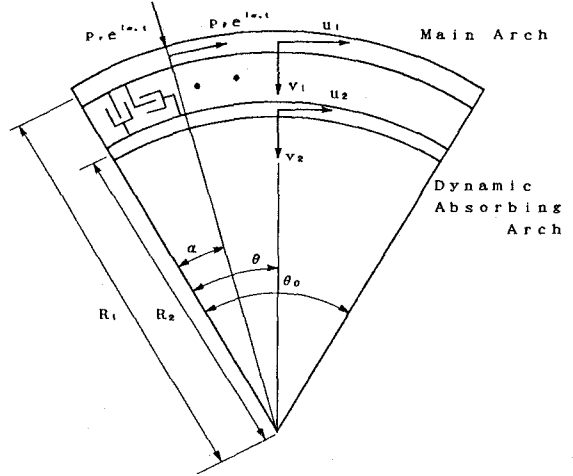


Fig.1 解析モデル

$$\begin{aligned}
 m_1 R_1 \ddot{u}_1 - \frac{E I_1}{R_1^3} (v_1''' + u_1''') - \frac{E A_1}{R_1} (u_1'' - v_1') + d_\theta &= R_1 p_\theta \delta(\theta - \alpha) e^{i\omega t} \\
 m_1 R_1 \ddot{v}_1 + \frac{E I_1}{R_1^3} (v_1''' + u_1''') - \frac{E A_1}{R_1} (u_1' - v_1) + d_r &= R_1 p_r \delta(\theta - \alpha) e^{i\omega t} \\
 m_2 R_2 \ddot{u}_2 - \frac{E I_2}{R_2^3} (v_2''' + u_2''') - \frac{E A_2}{R_2} (u_2'' - v_2') - d_\theta &= 0 \\
 m_2 R_2 \ddot{v}_2 + \frac{E I_2}{R_2^3} (v_2''' + u_2''') - \frac{E A_2}{R_2} (u_2' - v_2) - d_r &= 0
 \end{aligned} \tag{1}$$

ここで、 d_θ, d_r は下記の通りである。式中、 β_s はcase.2の場合の連結ダンパー装着位置である。

$$\begin{aligned}
 \text{case. 1} & \quad \begin{cases} d_\theta = c_\theta (\dot{u}_1 - \dot{u}_2) \\ d_r = c_r (\dot{v}_1 - \dot{v}_2) \end{cases} \\
 \text{case. 2} & \quad \begin{cases} d_\theta = c_\theta \sum_{s=1}^S (\dot{u}_1 - \dot{u}_2) \delta(\theta - \beta_s) \\ d_r = c_r \sum_{s=1}^S (\dot{v}_1 - \dot{v}_2) \delta(\theta - \beta_s) \end{cases}
 \end{aligned} \tag{2}$$

対象アーチと動吸振アーチの境界条件が等しく、 $A_1 R_1^2 / I_1 = A_2 R_2^2 / I_2$ を満たす場合を想定すると両アーチの振動形は同一となり固有円振動数のみ異なることとなる。ここで、Modal Analysisの手法を応用して両アーチの振動変位を求めると次式で表される。

$$\begin{aligned}
 u_1 &= \sum_{i=1}^N \rho_{1i}(t) U_i(\theta) & u_2 &= \sum_{i=1}^N \rho_{2i}(t) U_i(\theta) \\
 v_1 &= \sum_{i=1}^N \rho_{1i}(t) V_i(\theta) & v_2 &= \sum_{i=1}^N \rho_{2i}(t) V_i(\theta)
 \end{aligned} \tag{3}$$

式(3)を式(1)に代入して固有関数の直交条件を用いて整理すると式(4)のモード方程式となる。

$$m_1 R_1 \ddot{\rho}_{1j} + m_1 \omega_1^2 \rho_{1j} + c \sum_{i=1}^N \Phi_{ij} (\dot{\rho}_{1i} - \dot{\rho}_{2i}) = R_1 \{ p_s U_j(\alpha) + p_r V_j(\alpha) \} e^{i\omega_s t}$$

$$m_2 R_2 \ddot{\rho}_{2j} + m_2 \omega_2^2 \rho_{2j} + c \sum_{i=1}^N \Phi_{ij} (\dot{\rho}_{2i} - \dot{\rho}_{1i}) = 0 \tag{4}$$

ここで、

$$\begin{cases} \Phi_{ij} = \delta_{ij} & \text{case. 1} \\ \Phi_{ij} = \sum_{s=1}^S \{ U_j(\beta_s) U_i(\beta_s) + V_j(\beta_s) V_i(\beta_s) \} & \text{case. 2} \end{cases} \tag{5}$$

3. モード方程式の簡略化 式(4)及び式(5)から明らかのように、case.2では各モードが連成していることがわかる。式(5)の Φ_{ij} は数値計算によると、 $i=j$ の場合に比べ $i \neq j$ は極めて小さい値をとるので、 $i=j$ の場合(Φ_{jj})のみ考慮することにより近似的に2質量2ばね1ダンパー系モデルに置換できる。そこで、この2質量2ばね1ダンパー系モデルの最適調整条件¹⁾を適用することとした。

4. 動吸振アーチの設計 外力の励振振動数

がアーチのj次の固有振動数に近いとj次モードが卓越するので、このj次モードに注目した設計条件式とその順序を示す。①質量比 μ 及び対象アーチの制限振幅を決める。②Table.1を用いて固有振動数比f、減衰比 c_2/c_0 を求める。③連結ダンパーの減衰係数及び動吸振アーチの断面積、断面2次モーメントを式(6)から求める。

$$m_2 = \mu m_1 \quad c = \frac{2(c_2/c_0) f m_2 R_2 \omega_{1j}}{\Phi_{jj}}$$

$$A_2 = \mu \left(\frac{R_2}{R_1} \right)^2 f^2 A_1 \quad I_2 = \mu \left(\frac{R_2}{R_1} \right)^4 f^2 I_1 \tag{6}$$

5. 計算例 Table.2の諸元を持つ両端単純支持アーチを想定し、制振対象モードを1次、質量比 $\mu=0.2$ 、減衰比 $c_2/c_0=0.40$ として連結ダンパーを等分布、9個装着した場合について、 $1/4\theta_0$ 点、半径方向加振時のその同一点、同一方向の変位応答倍率の共振曲線をFig.3に示す。

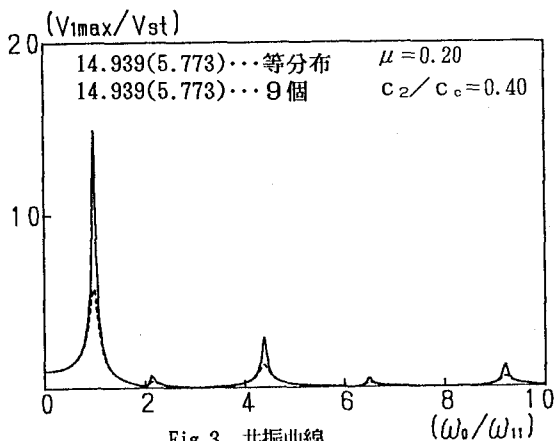


Fig.3 共振曲線

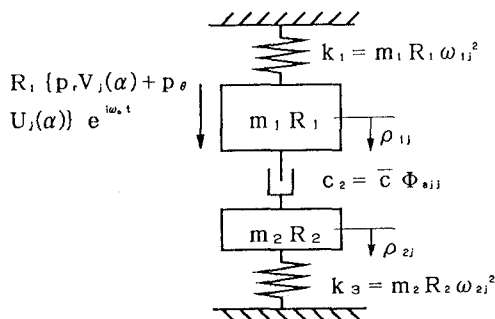


Fig.2 近似2質量2ばね1ダンパー系モデル

Table.1 固有振動数比の値($\mu=0.2$)

減衰比 (c_2/c_0)	固有振動数比 (f)	無次元振幅 (Y_1)
0.05	0.84386	64.62
0.10	0.76758	37.51
0.20	0.65658	23.18
0.40	0.52144	16.50
0.60	0.43462	14.21
0.80	0.37240	13.12

Table.2 対象ばりの諸元

$R_1 = 65.0$ (m)	$m_1 = 4.12 \times 10^2$ (Ns^2/m^2)
$I_1 = 2.76 \times 10^{-3}$ (m^4)	$A_1 = 5.25 \times 10^{-2}$ (m^2)
$\theta_0 = 0.79$ (rad)	

Table.3 動吸振ばりの諸元

$R_2 = 65.0$ (m)	$m_2 = 8.24 \times 10$ (Ns^2/m^2)
$I_2 = 1.50 \times 10^{-4}$ (m^4)	$A_2 = 2.86 \times 10^{-3}$ (m^2)
$c = 3.82 \times 10^4$ ($\text{Ns}^2/\text{m}^2/\text{rad}$) case.1
$c = 3.22 \times 10^5$ ($\text{Ns}^2/\text{m}^2/\text{rad}$) case.2

【参考文献】 1) 河原・會田：ダンパーのみを有する動吸振ばりによるはり構造物の振動制御、土木学会第46回年次学術講演会講演概要集第1部、pp946~947, (1991.9)